

Research Article

Vol. 37, No. 5, Dec.-Jan., 2023, p. 673-683

Evaluation of Elasticity-Based Methods in Estimating Contribution of Climate Change and Human Activities on Rivers' Discharge (Case Study: Gharehsoo River)

H. Norouzzadeh ¹ - M. Hasanpour Kashani ^{2*} - A. Rasoulzadeh ³

1, 2 and 3- Master's Degree, Assistant Professor and Professor, Department of Water Engineering, Faculty of Agriculture and Natural Resources, University of Mohaghegh Ardabili, Ardabil, Iran, respectively.

(*- Corresponding Author: m.hkashani@uma.ac.ir)

Received: 03-07-2023
Revised: 15-10-2023
Accepted: 16-10-2023
Available Online: 21-10-2023

How to cite this article:

Norouzzadeh, H., Hasanpour Kashani, M., & Rasoulzadeh, A. (2023). Evaluation of Elasticity-Based Methods in Estimating Contribution of Climate Change and Human Activities on Rivers' Discharge (Case Study: Gharehsoo River). *Journal of Water and Soil*, 37(5), 673-683. (In Persian with English abstract).
<https://doi.org/10.22067/jsw.2023.83229.1305>

Introduction

Climatic changes and human activities are among the important factors that affect the flow of rivers and it is very important to determine the contribution of these factors in order to better manage water resources. In recent years, there have been major changes in the watersheds, and the amount of runoff and river flow has decreased, or in some cases, the flow has increased due to the occurrence of floods. The issue of reducing the amount of runoff, especially in the arid and semi-arid regions of Iran, is one of the basic challenges related to the management of water resources. Hydrological changes primarily result from a combination of natural or climatic factors, including precipitation levels, air temperature, and overall warming of the Earth. Additionally, human activities, such as the construction of dams, creation of reservoirs, urbanization expansion, and indiscriminate harvesting, play a significant role. It is important to note that these factors are interconnected, and alterations in one can impact the others. The increase of greenhouse gases and climate change has caused a change in the hydrological cycle and the amount of runoff in the watersheds and has increased the number of climatic extreme events. The main purpose of this study is to determine the contribution of each of these factors on the discharge changes of the Gharehsoo River, one of the most important rivers of Ardabil province, using elasticity-based methods (non-parametric and Bodiko-based methods).

Materials and Methods

In this research, firstly, in order to determine the point of change in the amount of river runoff and to divide the base and change period, Petit's test was used during the statistical period of 1984-2019. This test was done using Xlstat software. According to the results of this test, there was a change in the annual flow time series in 1997, which was considered as the base period from 1984 to 1997 and from 1998 to 2019 as the period of changes. Then, the contribution of each of these factors was determined using elasticity-based methods.

Results and Discussion

In the elasticity-oriented method, the non-parametric method and the methods based on Bodiko's assumptions were used to calculate the elasticity coefficient. The results showed that in Samyan station, in the non-parametric method, the contribution of human activities is 88.26% and the contribution of climate change is 11.74%. The



©2023 The author(s). This is an open access article distributed under [Creative Commons Attribution 4.0 International License \(CC BY 4.0\)](https://creativecommons.org/licenses/by/4.0/), which permits use, sharing, adaptation, distribution and reproduction in any medium or format, as long as you give appropriate credit to the original author(s) and the source.

<https://doi.org/10.22067/jsw.2023.83229.1305>

contribution of human activities and the contribution of climate change for the methods of Schreiber, Aldekap, Bodiko, Peek and Zhang, respectively 91.98 and 8.02, 90.02 and 9.97, 91.98 and 8.02, 90.80 and 9.20, 92.37 and 7.62 are estimated. In general, in the elasticity method, the contribution of human activities is 88.26 to 92.37 percent and the contribution of climate change is from 7.63 to 11.74 percent, depending on the non-parametric and Bodiko method. At the Dost-Beiglo station, employing the non-parametric method reveals that human activities account for 96.13% of the observed changes, while the remaining 3.87% is attributed to climate change. The contribution of human activities and the contribution of climate change for the methods of Schreiber, Eldekap, Bodiko, Pick and Zhang are 97.71 and 2.29, 97.42 and 2.58, 97.56 and 2.44, 97.48 and 2.52, 97.71 and 2.29 are estimated. In general, in the elasticity-oriented method, the contribution of human activities between 96.13 and 97.71 percent and the contribution of climate change from 2.29 to 3.87 percent, depending on the non-parametric and Boudico-oriented method, have been met.

Conclusion

In this research, different hydrometeorological data such as precipitation, evaporation and transpiration and monthly discharge from the Samyan and Dost Beiglo stations were used for the statistical period of 1982-2019. First, by using Pettitt's test, it was determined that the river flow rate has changed abruptly since 2016. Therefore, the entire statistical period was divided into two natural and change periods, and then, using elasticity-based methods, the contribution of human activities and the contribution of climate change were determined. According to the results obtained in both stations, the impact of human activities (more than 88%) on the basin's runoff is far more than climate change (less than 11%). Therefore, it seems necessary to prevent the effective human activities on reducing the river flow in solving and managing water problems in the basin.

Keywords: Climatic changes, Elasticity-based method, Human activities, Pettitt's test, Runoff flow

مقاله پژوهشی

جلد ۳۷، شماره ۵، آذر-دی ۱۴۰۲، ص. ۶۸۳-۶۷۳

ارزیابی کارایی روش‌های الاستیسیته محور در برآورد سهم تغییرات اقلیمی و فعالیت‌های انسانی در میزان دبی رودخانه‌ها (مطالعه موردی: رودخانه قره‌سو)

هاجر نوروززاده^۱ - مهسا حسنیپورکاشانی^۲ - علی رسولزاده^۳

تاریخ دریافت: ۱۴۰۲/۰۴/۱۲

تاریخ پذیرش: ۱۴۰۲/۰۷/۲۴

چکیده

تغییرات اقلیمی و فعالیت‌های انسانی از جمله عوامل مهمی هستند که بر جریان رودخانه تاثیر می‌گذارند. هدف این مطالعه، تعیین سهم هر کدام از عوامل تغییرات اقلیمی و فعالیت‌های انسانی بر تغییرات دبی رودخانه قره‌سو یکی از مهم‌ترین رودخانه‌های استان اردبیل در دو ایستگاه سامیان و دوست بیگلو با استفاده از روش‌های الاستیسیته محور (بودیکو محور و روش ناپارامتری) می‌باشد. در این تحقیق، ابتدا به‌منظور تعیین نقطه تغییر مقدار رواناب رودخانه و تقسیم‌بندی دوره پایه و تغییر از آزمون پتیت در طول دوره آماری ۱۳۶۱-۱۳۹۸ استفاده شد. این آزمون در نرم‌افزار Xlstat انجام شد. با توجه به نتایج این آزمون در سال ۱۳۷۶ یک تغییر در سری زمانی جریان سالانه رخ داد که از سال ۱۳۶۱ تا ۱۳۷۶ به‌عنوان دوره پایه و از سال ۱۳۷۷ تا ۱۳۹۸ به‌عنوان دوره تغییرات در نظر گرفته شد. سپس با استفاده از روش‌های الاستیسیته محور سهم هر کدام از این عوامل تعیین گردید. نتایج نشان داد که در ایستگاه هیدرومتری سامیان سهم تغییرات اقلیمی برابر ۱۱/۷۴-۷/۶۳ درصد و سهم فعالیت‌های انسانی برابر ۹۲/۳۷-۸۸/۲۶ درصد می‌باشد. در ایستگاه هیدرومتری دوست‌بیگلو نیز سهم تغییرات اقلیمی برابر ۳/۸۷-۲/۲۹ درصد و سهم فعالیت‌های انسانی برابر ۹۷/۷۱-۹۶/۱۳ درصد می‌باشد. با توجه به نتایج حاصل در هر دو ایستگاه، تاثیر فعالیت‌های انسانی (بیشتر از ۸۸ درصد) بر روی رواناب حوضه به مراتب بیشتر از تغییرات اقلیمی (کمتر از ۱۱ درصد) می‌باشد. بنابراین، جلوگیری از انجام فعالیت‌های انسانی مؤثر در کاهش دبی رودخانه، در حل و مدیریت مشکلات آبی حوضه ضروری بنظر می‌رسد.

واژه‌های کلیدی: آزمون پتیت، تغییرات اقلیمی، فعالیت‌های انسانی، روش الاستیسیته محور، رواناب

مقدمه

است. افزایش گازهای گلخانه‌ای و تغییرات اقلیمی موجب تغییر در چرخه هیدرولوژیک و مقدار رواناب در حوضه‌های آبریز شده و تعداد رویدادهای حدی اقلیمی را افزایش داده است (Sorokin & Mondello, 2017). اما مشاهدات در بیشتر مناطق در سراسر جهان نشان می‌دهد چرخه هیدرولوژیک علاوه بر تغییر اقلیم، تحت تاثیر فعالیت‌های انسانی نیز قرار گرفته است (Huntingto, 2006). فعالیت‌های انسانی نظیر توسعه کشاورزی، توسعه شهرسازی، سدسازی و بهره‌برداری از مخازن، اثرات مستقیم و غیرمستقیمی بر چرخه هیدرولوژیک داشته و در نتیجه آن توزیع زمانی- مکانی منابع آب دچار

در سال‌های اخیر تغییرات عمده‌ای در حوضه‌های آبریز صورت گرفته و میزان رواناب و جریان رودخانه‌ها دچار کاهش شده و یا در برخی موارد به صورت وقوع سیلاب‌ها جریان افزایش یافته است (Hood, 2011). موضوع کاهش میزان رواناب به‌ویژه در مناطق خشک و نیمه‌خشک ایران یکی از چالش‌های اساسی در رابطه با مدیریت منابع آب می‌باشد و تغییرات هیدرولوژیکی به وجود آمده عمدتاً ناشی از عوامل طبیعی (اقلیمی) و انسانی بوده است (Yao et al., 2015). این عوامل مستقل از هم نیستند و هرگونه تغییر در آن‌ها بر یکدیگر نیز اثرگذار

۱، ۲ و ۳- به ترتیب دانش‌آموخته کارشناسی ارشد، استادیار و استاد گروه علوم و مهندسی آب، دانشکده کشاورزی و منابع طبیعی، دانشگاه محقق اردبیلی، اردبیل، ایران

(Email: m.hkashani@uma.ac.ir)

*- نویسنده مسئول:

اصفهان و کیاکلا در استان مازندران مورد بررسی قرار دادند. ایشان اعلام کردند اثرات خشکسالی ناشی از فعالیت‌های انسانی در هر دو حوضه بیشتر از تغییرات اقلیمی بوده است.

با توجه به مطالعات گسترده صورت گرفته در نقاط مختلف جهان در خصوص تعیین عوامل مؤثر در تغییر دبی رودخانه‌ها، در این تحقیق نیز به بررسی اثر عوامل یاد شده در میزان تغییرات رودخانه قره‌سو بعنوان یکی از مهمترین رودخانه‌های استان اردبیل پرداخته می‌شود. شایان ذکر است که استان اردبیل و حوضه آبریز رودخانه قره‌سو همانند بسیاری از نقاط دیگر جهان دچار تغییرات اقلیمی شده و نیز فعالیت‌های انسانی زیادی نظیر سدسازی، گسترش مناطق شهری و کشاورزی و ... در سطح استان و حوضه در طول سالیان انجام گرفته است.

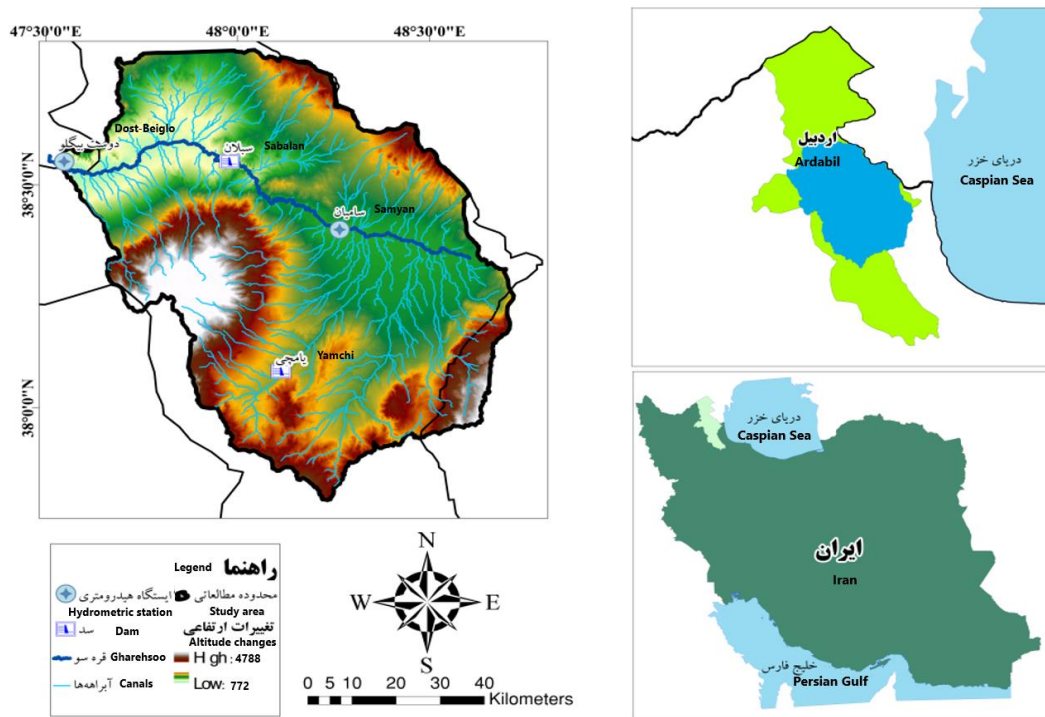
مواد و روش‌ها

منطقه مورد مطالعه

حوضه آبخیز رودخانه قره‌سو در مختصات جغرافیایی $32^{\circ} 47'$ تا $41^{\circ} 48'$ طول شرقی و $47^{\circ} 37'$ تا $52^{\circ} 38'$ عرض شمالی و با مساحتی بالغ بر 4062 کیلومتر مربع در استان اردبیل واقع شده است. این رودخانه از ارتفاعات تالش سرچشمه گرفته و در مسیر خود ضمن عبور از دشت اردبیل، آب‌های جاری این منطقه از جمله بالیخلی چای را جمع‌آوری کرده و همراه با دره رود به رود مرزی ارس می‌ریزد. طول آبراهه اصلی 285 کیلومتر و با آبدهی سالانه 554 میلیون متر مکعب، پرآب‌ترین رودخانه داخلی استان اردبیل بشمار می‌رود. در این مطالعه، داده‌های بارش، دبی و تبخیر در مقیاس ماهانه مربوط به ایستگاه‌های هیدرومتری سامیان و ایستگاه دوست‌بیگلوی طی سال‌های 1361 تا 1398 از شرکت آب منطقه‌ای و سازمان هواشناسی استان اردبیل اخذ و استفاده شدند. در شکل ۱ موقعیت رودخانه قره‌سو و در جدول ۱ مشخصات ایستگاه‌های هیدرومتری مورد استفاده ارائه شده است. با توجه به شکل ۱ ملاحظه می‌شود که بر روی رودخانه قره‌سو، دو سد سلان و یامچی قبل از ایستگاه دوست‌بیگلوی و سامیان به ترتیب در سال‌های 1385 و 1383 احداث و به بهره‌برداری رسیدند. شکل ۲ نقشه کاربری اراضی استان اردبیل را در سال‌های 1396 تا 1395 نشان می‌دهد که حاکی از افزایش اراضی کشاورزی، مناطق مسکونی و پهنه‌های آبی و کاهش جنگل‌ها و مراتع در طول این سال‌ها و به عبارتی دیگر، انجام فعالیت‌های انسانی متنوع در سطح استان می‌باشد (*Kakehmami et al., 2021*). بنابراین، انتظار می‌رود فعالیت‌های انسانی تأثیر قابل توجهی بر میزان دبی رودخانه قره‌سو داشته باشند.

تغییر شده است (*Milly et al., 2005*). بنابراین، برای شناخت بهتر ارتباط بین اقلیم، هیدرولوژی و انسان‌ها، لازم است فعالیت‌های انسانی مؤثر بر رواناب نیز مورد بررسی قرار گیرد (*Rangecroft et al., 2016*).

مطالعات متعددی در رابطه با تغییرات جریان رودخانه‌ها توسط محققین صورت گرفته است. ما و همکاران (*Ma et al., 2008*) اثرات تغییرات آب و هوایی و فعالیت‌های انسانی را برای حوزه رودخانه‌ای در منطقه خشک در شمال غربی چین تحلیل و ارزیابی کردند. نتایج تحقیق آن‌ها نشان داد که تغییرات آب و هوایی (کاهش بارندگی) باعث کاهش بیش از 64 درصدی میانگین یک ساله جریان است و همچنین جریان این رودخانه به تغییرات بارش نسبت به تغییرات تبخیر و تعرق بسیار حساس است. ژائو و همکاران (*Zhao et al., 2014*) اثرات تغییرات اقلیمی و فعالیت‌های انسانی را بر روی جریان حوضه رودخانه Yellow در چین ارزیابی کردند. نتایج تحقیق آن‌ها نشان داد که به‌طور کلی فعالیت‌های انسانی نظیر پروژه‌های حفاظت از آب و خاک، بهره‌برداری از سدها و مخازن مصرف آب به عنوان عوامل حاکم بر کاهش چشمگیر جریان سالانه در 6 دهه گذشته شناخته می‌شود. گائو و همکاران (*Gao et al., 2016*) با استفاده از روش الاستیسیته پاسخ هیدرولوژیکی حوضه‌های مختلف Loess Plateau را به تغییر اقلیم و فعالیت‌های انسانی بین سال‌های 1961 تا 2009 تعیین کردند. نتایج آنها نشان داد در 10 حوضه از 15 حوضه مورد بررسی، سهم فعالیت‌های انسانی بیش از 60 درصد می‌باشد. وو و همکاران (*Wu et al., 2017*) با بررسی اثرات اقلیمی و فعالیت‌های انسانی با استفاده از روش‌های مدل هیدرولوژیکی SWAT، رگرسیون خطی، منحنی جرم مضاعف، الاستیسیته محور و روش بودیکو بر روی رودخانه Yanhe در چین اعلام کردند که تغییر اقلیم به‌طور متوسط موجب کاهش $54/1$ درصدی رواناب در حوضه مورد مطالعه شده است. زهرایی و همکاران (*Zahraie et al., 2017*) سهم اثرات تغییرات آب و هوایی و فعالیت‌های انسانی را در کاهش رواناب‌های ورودی به سد زاینده رود با استفاده از سه روش کسسانی، رگرسیون خطی و تثبیت-تغییر ارزیابی کردند. نتایج تحقیق نشان‌دهنده سازگاری نتایج این روش‌ها با اطلاعات مربوط به توسعه کشاورزی به‌عنوان مهمترین مصرف‌کننده آب در منطقه بود. عباسی و ملکانی (*Abbasi & Malekani, 2021*) برای بررسی و برآورد میزان تغییرات رواناب در اثر عوامل اقلیمی و انسانی در حوضه سراسرود واقع در استان زنجان از روش رگرسیون خطی و جهت شبیه‌سازی فرآیند هیدرولوژیکی از ابزار آب و خاک (SWAT) استفاده کردند که نتایج حاصل از این مطالعه نشان داد که سهم عوامل اقلیمی و عوامل انسانی در کاهش رواناب به ترتیب 33% و 67% می‌باشد. کاکایی و همکاران (*Kakaei et al., 2019*) اثرات خشکسالی ناشی از فعالیت‌های انسانی را بر منابع آب سطحی و رواناب در دو حوضه اسکندری در استان



شکل ۱- موقعیت جغرافیایی منطقه مورد پژوهش
Figure 1- Geographical location of the study area

جدول ۱- مختصات جغرافیایی ایستگاه‌های هیدرومتری مورد مطالعه

Table 1- Geographical coordinates of studied hydrometric stations

| محدوده مطالعاتی Study area | نام رودخانه Name of river | نام ایستگاه Station Name | طول جغرافیایی Longitude | عرض جغرافیایی Latitude | مساحت حوضه Basin Area |
|-------------------------------|------------------------------|-----------------------------|----------------------------|---------------------------|--------------------------|
| اردبیل Ardabil | قره‌سو Gharehsoo | سامیان Samyan | 48°14' 48 " | 38°22' 49 " | 4200 m ² |
| مشگین شهر Meshgin Shahr | قره‌سو Gharehsoo | دوست بیگلو Dost-Beiglo | 47°32' 02 " | 38°32' 57 " | 7300 m ² |

آزمون پتیت^۱

در مواقعی که زمان دقیق تغییر در یک سری زمانی مشخص نباشد برای تعیین نقطه تغییر و تمایز بین دوره پایه و تغییر جریان رودخانه از روش ناپارامتری پتیت که در سال ۱۹۷۹ توسط پتیت ارائه شده است استفاده می‌شود (Pettitt, 1979). برای تعیین این نقطه تغییر ابتدا باید پارامتر K_t محاسبه شود (Mwangi, 2016).

معادله $U_{t,T}$ معادل آماره من-ویتی برای تست است، T تعداد کل مشاهدات، $sgn(x_i - x_j)$ تابع علامت بوده و x مقدار سری مشاهداتی می‌باشد. نقطه تغییر در سری K_t قرار دارد و احتمال معنی‌داری K_t در سطح ۵ درصد به صورت زیر برآورد می‌گردد.

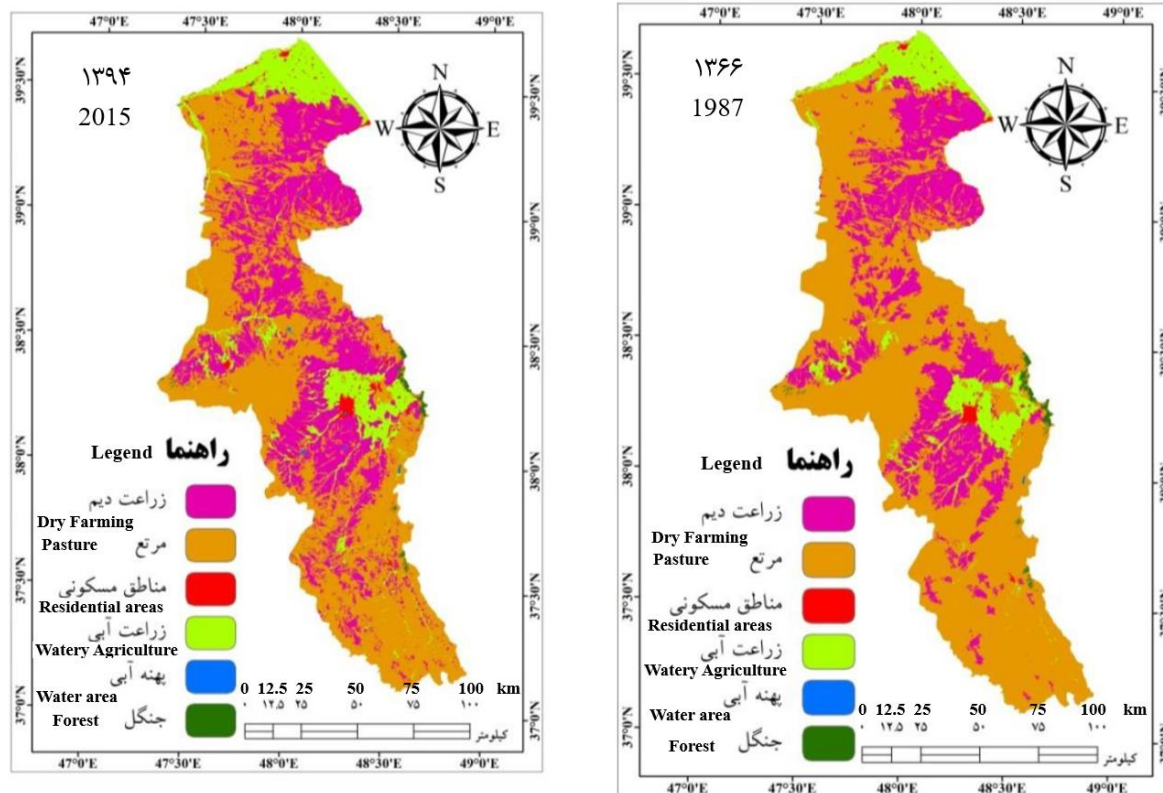
$$P \cong 2 \exp\left(\frac{-6kT^2}{T^3 + T^2}\right) \quad (4)$$

جایی که مقدار P کمتر از ۰/۰۵ (سطح معنی‌داری) باشد آن نقطه به‌عنوان نقطه تغییر خواهد بود.

$$K_t = \max |U_{t,T}|, \quad 1 \leq t \leq T \quad (1)$$

$$U_{t,T} = \sum_{i=1}^t \sum_{j=t+1}^T sgn(x_i - x_j) \quad (2)$$

$$sgn(x_i - x_j) = \begin{cases} +1 & \text{if } (x_i - x_j) > 0 \\ 0 & \text{if } (x_i - x_j) = 0 \\ -1 & \text{if } (x_i - x_j) < 0 \end{cases} \quad (3)$$



شکل ۲- نقشه کاربری اراضی استان اردبیل در سال‌های ۱۳۶۶ و ۱۳۹۴ (Kakehmami et al., 2021)
Figure 2- Land use map of Ardabil province in 1987 and 2015 (Kakehmami et al., 2021)

می‌باشند. μ_{human} و $\mu_{climate}$ نیز به ترتیب درصد سهم عوامل اقلیمی و انسانی بر روی تغییرات دبی در نظر گرفته شده‌اند.

روش‌های الاستیسیته محور

رواناب در یک حوضه را می‌توان به صورت تابعی از عوامل اقلیمی و مشخصات حوضه به شکل زیر بیان نمود:

$$Q = f(P, ET_p, V) \quad (9)$$

که در آن، Q رواناب، P بارندگی، ET_p تبخیر-تعرق پتانسیل و V نشان‌دهنده تاثیرات یکپارچه مشخصات حوضه بر رواناب می‌باشد. بر اساس رابطه (۹) می‌توان تغییرات در رواناب را به صورت تابعی از تغییرات در بارش، تبخیر-تعرق و مشخصات حوضه به صورت زیر بیان کرد:

$$\Delta Q = f'_p \Delta P + f'_{ET_p} \Delta ET_p + f'_V \Delta V = \frac{\partial Q}{\partial P} \Delta P + \frac{\partial Q}{\partial ET_p} \Delta ET_p + \frac{\partial Q}{\partial V} \Delta V \quad (10)$$

تغییر در میزان بارندگی و تبخیر-تعرق پتانسیل ناشی از اثرات تغییر اقلیم و تغییرات در مشخصات حوضه نشان‌دهنده اثر فعالیت‌های انسانی در حوضه می‌باشد (Yao et al., 2015). بنابراین، رابطه فوق را می‌توان به صورت زیر تفکیک کرد:

بررسی تأثیر تغییرات اقلیمی و فعالیت‌های انسانی بر رواناب

برای بررسی تغییرات رواناب می‌توان طول دوره آماری را به دو دوره پایه و دوره تغییرات تقسیم‌بندی نمود. به عبارت دیگر، $\Delta \bar{Q}_{total}$ را می‌توان به صورت زیر بیان کرد:

$$\Delta \bar{Q}_{total} = \bar{Q}_{variation} - \bar{Q}_{baseline} \quad (5)$$

که در آن، $\Delta \bar{Q}_{total}$ تغییرات کل میانگین سالانه رواناب و $\bar{Q}_{variation}$ و $\bar{Q}_{baseline}$ به ترتیب میانگین سالانه رواناب در دوره پایه و در دوره تغییرات می‌باشند. همانگونه که در بالا نیز اشاره شده می‌توان تغییرات در میزان رواناب را به صورت ترکیبی از تغییر اقلیم و فعالیت‌های انسانی و درصد تغییرات هر یک را با روابط زیر نشان داد (Wu et al., 2017):

$$\Delta \bar{Q}_{total} = \Delta \bar{Q}_{climate} + \Delta \bar{Q}_{human} \quad (6)$$

$$\mu_{climate} = \frac{\Delta \bar{Q}_{climate}}{\Delta \bar{Q}_{total}} \times 100 \quad (7)$$

$$\mu_{human} = \frac{\Delta \bar{Q}_{human}}{\Delta \bar{Q}_{total}} \times 100 \quad (8)$$

که در آن، $\Delta \bar{Q}_{human}$ و $\Delta \bar{Q}_{climate}$ به ترتیب تغییرات در میانگین دبی سالانه به علت اثر تغییر اقلیم و فعالیت‌های انسانی

که P بارندگی بر حسب میلی‌متر، E تبخیر و تفرق واقعی و Q عمق رواناب بر حسب میلی‌متر می‌باشد.

بودیکو (Budyko, 1948) میانگین سالانه تبخیر و تفرق پتانسیل به میانگین سالانه بارش را به عنوان شاخص خشکی و تبخیر و تفرق واقعی را تابعی از شاخص خشکی معرفی نمود. به عبارت دیگر:

$$\varphi = \frac{ET_p}{P} \quad (17)$$

$$ET_a = P * F(\varphi) \quad (18)$$

ET_a میانگین تبخیر و تفرق پتانسیل دوره تغییرات، P میانگین بارش دوره تغییرات، ET_a میانگین تبخیر و تفرق واقعی دوره تغییرات و F(φ) شاخص خشکی می‌باشد.

با توجه به جدول ۲ هر چقدر مقدار شاخص خشکی بیشتر باشد وضعیت اقلیمی منطقه خشک‌تر تلقی می‌شود.

ضریب الاستیسیته بارش و تبخیر و تفرق پتانسیل را به صورت زیر می‌توان بیان کرد (Fu et al., 2007).

$$\varepsilon_P = 1 + \frac{\varphi F'(\varphi)}{1-F(\varphi)}, \quad \varepsilon_P + \varepsilon_{ET_p} = 1 \quad (19)$$

F'(φ) مشتق تابع F(φ) می‌باشد. برای محاسبه F(φ) از روابطی که بر اساس فرضیات بودیکو ارائه شده است (جدول ۳) استفاده گردید. پس از انجام محاسبات فوق، سهم تغییر رواناب ناشی از اقلیم محاسبه می‌شود. با توجه به جدول ۳ مقدار ضریب آب موجود در گیاه (ω) در رابطه ژانگ و همکاران (Zhang et al., 2001) با توجه به پوشش زمین و کاربری اراضی حوضه برآورد می‌شود که برای جنگل مقدار ۲ و برای مرتع ۰/۵ در نظر گرفته شده است.

نتایج و بحث

در این تحقیق، به منظور تعیین نقطه تغییر مقدار رواناب رودخانه و تقسیم‌بندی دوره پایه و تغییر از آزمون پتیت در طول دوره آماری ۱۳۶۱-۱۳۹۸ (۳۸ سال) استفاده شد. با توجه به نتایج این آزمون در شکل ۳ مشاهده می‌شود که در سال ۱۳۷۶ یک تغییر در سری زمانی جریان سالانه رودخانه رخ داده است و مقدار P هم در این نقطه کمتر از ۰/۵ است. بنابراین، از سال ۱۳۶۱ تا ۱۳۷۶ به عنوان دوره پایه و از سال ۱۳۷۷ تا ۱۳۹۸ به عنوان دوره تغییرات در نظر گرفته شد. این آزمون با استفاده از نرم‌افزار Xlstat انجام شد.

$$\Delta \bar{Q}_{climate} = \frac{\partial Q}{\partial P} \Delta P + \frac{\partial Q}{\partial ET_p} \Delta ET_p \quad (11)$$

برای تعیین سهم اثرات اقلیمی و فعالیت‌های انسانی بر رواناب ابتدا باید ضریب الاستیسیته رواناب (ε) برآورد شود (Schaake, 1990). ضریب الاستیسیته رواناب عبارتست از نسبت تغییرات رواناب به یک عامل اقلیمی مثل بارش و یا تبخیر- تفرق (X). به عبارت دیگر:

$$\varepsilon = \frac{\partial Q/Q}{\partial X/X} \quad (12)$$

بنابراین رابطه (۱۱) را می‌توان به صورت زیر بازنویسی کرد.

$$\Delta \bar{Q}_{climate} = \left(\frac{\varepsilon_P \Delta P}{P} + \frac{\varepsilon_{ET_p} \Delta ET_p}{ET_p} \right) Q \quad (13)$$

که در آن، ε_P و ε_{ET_p} به ترتیب ضریب الاستیسیته رواناب نسبت به بارندگی و تبخیر- تفرق می‌باشد. بنابراین، برای محاسبه ΔQ_{climate} ابتدا باید این دو ضریب محاسبه شوند که برای محاسبه آن از دو روش زیر استفاده می‌شود.

روش ناپارامتری

این روش یک تخمین ناپارامتری برای الاستیسیته اقلیمی می‌باشد که با استفاده از داده‌های مشاهداتی به دست می‌آید. ساختار کلی این روش به صورت زیر می‌باشد:

$$\varepsilon = \frac{\Delta Q_i / \bar{Q}}{\Delta X_i / \bar{X}} = \frac{(Q_i - \bar{Q}) / \bar{Q}}{(X_i - \bar{X}) / \bar{X}} \quad (14)$$

Q_i و X_i به ترتیب مقادیر رواناب سالانه و متغیر اقلیمی (بارش و تبخیر و تفرق پتانسیل)، Q̄ و X̄ متوسط رواناب سالانه و متغیر اقلیمی می‌باشد که برای حل این معادله می‌توان از آماره میانه استفاده کرد.

$$\varepsilon = \text{median} \frac{\frac{Q_i - \bar{Q}}{\bar{Q}}}{\frac{X_i - \bar{X}}{\bar{X}}} \quad (15)$$

روش‌های بودیکو محور

با توجه به رابطه بیلان آب می‌توان الاستیسیته اقلیمی برای رواناب را ارزیابی کرد. به‌طور کلی فرض بر این است که تغییرات بلند مدت در ذخیره آب حوضه ناچیز است و رواناب به عوامل اقلیمی عمدتاً به بارش و تبخیر و تفرق پتانسیل بستگی دارد. معادله بیلان آب را می‌توان به صورت زیر بیان کرد:

$$Q = P - E \quad (16)$$

جدول ۲- تعیین وضعیت اقلیمی منطقه با استفاده از شاخص خشکی

Table 2- Determining the climatic condition of the region using the aridity index

| بازه شاخص خشکی Dryness index range | 0.375-0.75 | 0.75-2 | 2-5 | 5 |
|--|-------------|-----------------------|-------------------------|----------------|
| وضعیت اقلیمی منطقه Climatic condition of the region | خشک Arid | نیمه خشک Semi-arid | نیمه مرطوب Sub-humid | مرطوب Humid |

جدول ۳- توابع مختلف بر اساس فرضیات بودیکو

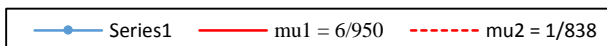
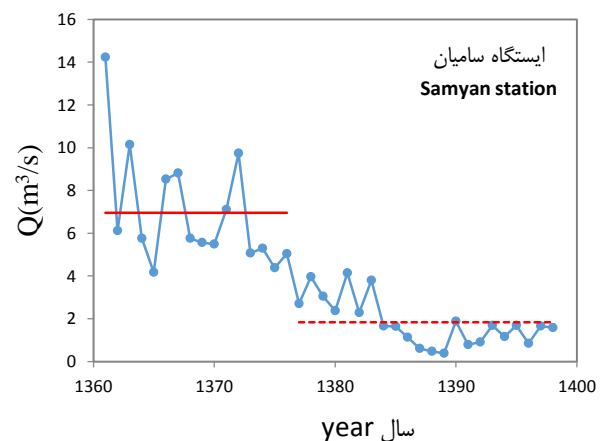
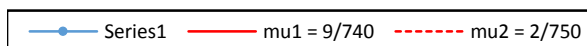
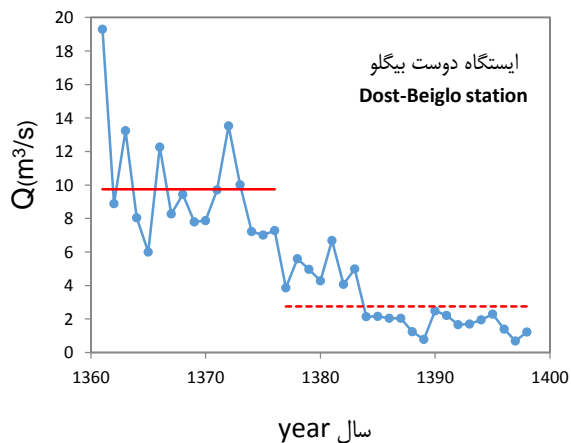
Table 3- Various functions based on Budyko assumptions

| نام توابع Function names | $F(\varphi)$ | $F'(\varphi)$ |
|-----------------------------|---|---|
| Schreiber,1904 | $1e^{-\varphi}$ | $e^{-\varphi}$ |
| Oldekop,1911 | $\varphi \tan h(1/\varphi)$ | $\tan h(1/\varphi) - \frac{4}{\varphi(e^{-1/\varphi} + e^{1/\varphi})^2}$ |
| Budyko,1948 | $[\varphi \tan h(1/\varphi)(1 - e^{-\varphi})]^{0.5}$ | $0.5[\varphi \tan h(1/\varphi)(1 - e^{-\varphi})]^{-0.5} \times \left[\left(\tan h(1/\varphi) - \frac{\sec h^2(1/\varphi)}{\varphi} \right) (1 - e^{-\varphi}) + \varphi \tan h(1/\varphi)e^{-\varphi} \right]$ |
| Pike,1964 | $(1 + \varphi^{-2})^{-0.5}$ | $\frac{1}{[\varphi^3(1 + (1/\varphi)^2)^{1.5}]}$ |
| Zhang et al,2001 | $(1 + \omega\varphi) / (1 + \omega\varphi + 1/\varphi)$ | $(\omega + 2\omega/\varphi - 1 + 1/\varphi^2) / (1 + \omega\varphi + 1/\varphi)^2$ |

و بهره‌برداری از سدهای سیلان و یامچی به ترتیب در سال‌های ۱۳۸۵ و ۱۳۸۳ است که منجر به کاهش دبی رودخانه شده است. دبی ایستگاه سامیان متأثر از ساخت سد یامچی و دبی ایستگاه دوست‌بیگلو متأثر از تأسیس هر دو سد سیلان و یامچی می‌باشد.

برای تعیین سهم اثرات اقلیمی و انسانی بر تغییرات رواناب از روش‌های الاستیسیته محور استفاده گردید که نتایج این روش‌ها در ایستگاه سامیان در جدول ۴ و در ایستگاه دوست‌بیگلو در جدول ۵ نشان داده شده است.

با توجه به شکل ۳، در ایستگاه سامیان، متوسط دبی رودخانه در دوره پایه برابر ۶/۹۵ متر مکعب در ثانیه و متوسط دبی رودخانه در دوره تغییرات برابر ۱/۸۳ متر مکعب در ثانیه می‌باشد. در ایستگاه دوست‌بیگلو نیز متوسط دبی جریان در دوره پایه ۹/۷۴ متر مکعب در ثانیه و متوسط دبی در دوره تغییرات برابر ۲/۷۵ متر مکعب در ثانیه می‌باشد که این مقادیر کاهش قابل توجه دبی رودخانه را در هر دو ایستگاه هیدرومتری نشان می‌دهند که میزان کاهش دبی در ایستگاه دوست‌بیگلو بیشتر از ایستگاه سامیان است. همچنین، در این نمودارها، در ایستگاه سامیان بعد از سال ۱۳۸۳ و در ایستگاه دوست‌بیگلو نیز بعد از سال ۱۳۸۳ کاهش در مقادیر دبی دیده می‌شود که همانطور که گفته شد دلیل آن احداث



شکل ۳- نتایج آزمون پتیت در تعیین نقطه تغییر رواناب در ایستگاه سامیان و دوست بیگلو

Figure 3- Results of Petit's test in determining the point of change of runoff in Samyan and Dost-Beiglo stations

جدول ۴- سهم اثرات اقلیمی و انسانی با استفاده از روش الاستیسیته محور در ایستگاه سامیان

Table 4- Contribution of climatic and human effects using the elasticity-based method in Samyan station

| نام روش Method name | φ | ϵ_P | ϵ_{ETP} | سهم تغییرات اقلیمی (%) Contribution of climate change | سهم فعالیت‌های انسانی (%) Contribution of human activities |
|--|-----------|--------------|------------------|--|---|
| روش ناپارامتری Nonparametric Method | - | 1.640 | -0.81 | 11.74 | 88.26 |
| اسچریبر Schreiber | 0.389 | 1.389 | -0.389 | 8.02 | 91.98 |
| الدکپ Oldekop | 0.389 | 1.583 | -0.583 | 9.97 | 90.03 |
| بودیکو Budyko | 0.389 | 1.383 | -0.383 | 8.02 | 91.98 |
| پیک Pike | 0.389 | 1.348 | -0.348 | 9.20 | 90.80 |
| ژانگ Zhang | 0.389 | 1.348 | -0.348 | 7.63 | 92.37 |

جدول ۵- سهم اثرات اقلیمی و انسانی با استفاده از روش الاستیسیته محور در ایستگاه دوست بیگلو

Table 5- Contribution of climatic and human effects using the elasticity-based method in Dost-Beiglo station

| نام روش Method name | φ | ϵ_P | ϵ_{ETP} | سهم تغییرات اقلیمی (%) Contribution of climate change | سهم فعالیت‌های انسانی (%) Contribution of human activities |
|--|-----------|--------------|------------------|--|---|
| روش ناپارامتری Nonparametric Method | - | 0.149 | 4.790 | 3.87 | 96.13 |
| اسچریبر Schreiber | 0.469 | 1.461 | -0.461 | 2.29 | 97.71 |
| الدکپ Oldekop | 0.469 | 1.724 | -0.724 | 2.58 | 97.42 |
| بودیکو Budyko | 0.469 | 1.580 | -0.580 | 2.44 | 97.56 |
| پیک Pike | 0.469 | 1.598 | -0.598 | 9.20 | 97.48 |
| ژانگ Zhang | 0.469 | 1.395 | -0.395 | 2.29 | 97.71 |

محور سهم فعالیت‌های انسانی بین ۹۶/۱۳ تا ۹۷/۷۱ درصد و سهم تغییرات اقلیمی از ۲/۲۹ تا ۳/۸۷ درصد بسته به روش ناپارامتری و بودیکو محور برآورده شده است.

نتایج حاصل از روش‌های مختلف در هر دو ایستگاه نشان داد که سهم تغییرات اقلیمی کمتر از ۱۱ درصد و سهم فعالیت‌های انسانی بیشتر از ۸۸ درصد در کاهش جریان‌ات رودخانه قره‌سو می‌باشد که این نتایج با نتایج محققان قبلی همخوانی دارد. تحقیقات گائو و همکاران (Gao et al., 2016) نشان داد که بیشتر از ۶۰ درصد از کاهش رواناب در حوضه‌های مختلف لوس پلاتو^۴ به علت فعالیت‌های انسانی می‌باشد. نتایج مطالعات عباسی و ملکانی (Abbasi and Malekani, 2021) نیز بر روی حوضه سجا سرود واقع در استان زنجان نشان داد که سهم عوامل اقلیمی ۳۳ درصد و سهم فعالیت‌های انسانی ۶۷ درصد می‌باشد. مطالعات کنعانی و همکاران (Kanani et al., 2021) در حوضه رودخانه ليقوان که از زیرحوضه‌های دریاچه ارومیه می‌باشد، نشان داد که عوامل انسانی موجب کاهش ۶۵ تا ۸۴ درصد میزان رواناب می‌باشد. همچنین، با مقایسه نتایج دو ایستگاه سامیان و دوست بیگلو، می‌توان نتیجه‌گیری نمود که تأثیر تغییرات اقلیمی بر روی دبی رودخانه

با توجه به جدول ۴، در ایستگاه سامیان از روش ناپارامتری و روش‌هایی که بر اساس فرضیات بودیکو می‌باشند، برای محاسبه ضریب الاستیسیته استفاده گردید که نتایج این روش‌ها در این جدول نشان داده شده است. در روش ناپارامتری، سهم فعالیت‌های انسانی ۸۸/۲۶ درصد و سهم تغییرات اقلیمی ۱۱/۷۴ درصد برآورده شده است. سهم فعالیت‌های انسانی و سهم تغییرات اقلیمی برای روش‌های اسچریبر، الدکپ^۲، بودیکو^۳، پیک^۴ و ژانگ^۵ به ترتیب ۹۱/۹۸ و ۸/۰۲، ۸۰/۰۳ و ۹۰/۹۷، ۹۱/۹۸ و ۸/۰۲، ۸۰/۰۳ و ۹۰/۸۰ و ۹۲/۳۷ و ۹/۲۰ و ۷/۶۲ برآورد شده است. به طور کلی، در روش الاستیسیته محور، سهم فعالیت‌های انسانی ۸۸/۲۶ تا ۹۲/۳۷ درصد و سهم تغییرات اقلیمی از ۷/۶۳ تا ۱۱/۷۴ درصد بسته به روش ناپارامتری و بودیکو محور برآورده شده است.

با توجه به جدول ۵، در ایستگاه دوست بیگلو در روش ناپارامتری، سهم فعالیت‌های انسانی ۹۶/۱۳ درصد و سهم تغییرات اقلیمی ۳/۸۷ درصد برآورده شده است. سهم فعالیت‌های انسانی و سهم تغییرات اقلیمی برای روش‌های اسچریبر، الدکپ، بودیکو، پیک و ژانگ به ترتیب ۹۷/۷۱ و ۲/۲۹، ۹۷/۴۲ و ۲/۵۸، ۹۷/۵۶ و ۲/۴۴، ۹۷/۴۸ و ۲/۵۲، ۹۷/۷۱ و ۲/۲۹ برآورد شده است. به طور کلی، در روش الاستیسیته

4- Pike
5- Zhang
6- Loess Plateau

1- Scheriber
2- Oldekop
3- Budyko

سپس با استفاده از روش‌های یادشده سهم فعالیت‌های انسانی و سهم تغییرات اقلیمی مشخص گردید. دو عامل اقلیمی یعنی کاهش بارندگی و افزایش تبخیر به‌عنوان عوامل موثر در تغییرات اقلیمی و انجام فعالیت‌هایی مانند احداث سد یامچی و سد سبلان و نیز توسعه و گسترش باغات و اراضی کشاورزی به‌عنوان فعالیت‌های انسانی در کاهش جریان رودخانه قره‌سو می‌توانند موثر باشند. با این‌حال، فعالیت‌های انسانی تأثیر بیشتری (بالای ۸۸ درصد) نسبت به عامل تغییر اقلیم (کمتر از ۱۱ درصد) در کاهش جریان این رودخانه داشته است. با توجه به زیاد بودن درصد فعالیت‌های انسانی می‌توان گفت که با ادامه همین روند تغییرات اقلیمی و فعالیت‌های انسانی، بنظر می‌رسد جریان رودخانه در سال‌های آینده دچار تغییرات و کاهش بیشتری خواهد شد. به منظور جلوگیری از کاهش بیشتر رواناب این رودخانه می‌بایست از افزایش فعالیت‌های انسانی انجام یافته در سطح استان نظیر سدسازی، گسترش اراضی کشاورزی و مناطق مسکونی و تخریب جنگل‌ها و مراتع جلوگیری کرده و آن را مدیریت نمود.

در نهایت، پیشنهاد می‌گردد در مطالعات آتی از سایر روش‌های ارزیابی سهم اثرات اقلیمی و انسانی بر دبی رودخانه قره‌سو و سایر رودخانه‌های جاری در سطح کشور استفاده شود و کارایی آنها بررسی شود. همچنین، پیشنهاد می‌گردد از یک مدل هیدرولوژیکی برای روندیابی جریان بین دو ایستگاه هیدرومتری حوضه قره‌سو و تعیین اثر تغییرات بارش و تبخیر و تعرق حوضه‌های بالادست هر ایستگاه استفاده گردد.

قره‌سو در ایستگاه سامیان (۹۰/۹٪) بیشتر از ایستگاه دوست‌بیگلو (۲/۶۶٪) می‌باشد و برعکس تأثیر فعالیت‌های انسانی بر روی دبی رودخانه در ایستگاه دوست‌بیگلو (۹۷/۳۳٪) بیشتر از ایستگاه سامیان (۹۰/۹۰٪) می‌باشد که علت آن می‌تواند تأثیر همزمان احداث دو سد یامچی و سبلان بر دبی ایستگاه دوست‌بیگلو باشد.

شایان ذکر است که در این تحقیق همانطور که گفته شد بدلیل عدم کافی بودن داده‌های بارش و تبخیر در نواحی بالادست ایستگاه‌های هیدرومتری، از داده‌های بارش و تبخیر ایستگاه‌های هیدرومتری استفاده گردیده است. بدیهی است در صورت کافی بودن آمار بالادست و اعمال نمودن اثرات بارش و تبخیر نقاط بالادست حوضه در دبی‌های خروجی از ایستگاه‌های هیدرومتری، نتایج قابل اعتمادتری حاصل می‌شد.

نتیجه‌گیری

در این تحقیق، برای تعیین میزان اثرات تغییرات اقلیمی و فعالیت‌های انسانی بر روی مقادیر دبی رودخانه قره‌سو واقع در استان اردبیل از روش‌های الاستیسیته محور استفاده گردید. بدین منظور، از داده‌های هیدرومترولوژیکی مختلف مانند بارش، تبخیر و دبی ماهانه مرتبط با ایستگاه سامیان و ایستگاه دوست‌بیگلو با دوره آماری ۱۳۹۸-۱۳۶۱ بهره گرفته شد. ابتدا با استفاده از آزمون پتیت مشخص گردید که از سال ۱۳۷۶ میزان جریان رودخانه دچار تغییرات معنی‌داری شده است. لذا کل دوره آماری به دو دوره پایه و تغییرات تقسیم‌بندی شد و

منابع

- 1- Abbasi, H., & Malekani, L. (2021). Runoff Modeling and Estimation of Runoff Changes Due to Climatic and Human Factors. *Iranian Journal of Irrigation and Drainage*, 13(2), 475-485. (In Persian with English abstract). doi:20.1001.1.20087942.1398.13.2.18.6
- 2- Budyko, M.I. (1948). *Evaporation under Natural Conditions*. Translated from Russian by Israel Program.
- 3- Gao, G., Fu, B., Wang, S., Liang, W., & Jiang, X. (2016). Determining the hydrological responses to climate variability and land use/cover change in the Loess Plateau with the Budyko framework. *Science of the Total Environment*, 557-558, 331-342. <https://doi.org/10.1016/j.scitotenv.2016.03.019>
- 4- Fu, G., Charles, S.P., & Chiew, F.H.S. (2007). A two-parameter climate elasticity of runoff index to assess climate change effects on annual runoff. *Water Resources Research*, 43(11), 11-19. <https://doi.org/10.1029/2007WR005890>
- 5- Hood, M. (2011). Increased flooding driven by climate change. *African Network of Environmental Journalists (ANEJ)*.
- 6- Huntington, T.G. (2006). Evidence for intensification of the global water cycle: review and synthesis. *Journal of Hydrology*, 319(1-4), 83-95. <https://doi.org/10.1016/j.jhydrol.2005.07.003>
- 7- Kakaei, E., Moradi, H.R., Moghaddam Nia, A.R., & Van Lanen, H.A.J. (2019). Quantifying positive and negative human-modified droughts in the Anthropocene: Illustration with two Iranian catchments. *Water*, 11(5), 884. <https://doi.org/10.3390/w11050884>
- 8- Kanani, R., Fakheri, A., Ghorbani, A., & Dinpashoh, Y. (2021). Trend analysis of the streamflow in the Lighvan river hydrometric station (Upstream and Downstream). *Journal of Watershed Management Research*, 11(22), 11-19. (In Persian). <https://doi.org/10.52547/jwmr.11.22.11>
- 9- Kakehmami, A., Ghorbani, A., Moameri, M., & Ghafari, S. (2021). Evaluation of land use changes in Ardabil province using satellite image processing. *Iranian Journal of Range and Desert Research*, 28(3), 537-550. (In Persian). <https://doi.org/10.22092/ijrdr.2021.125011>
- 10- Ma, Z., Kang, S., Zhang, L., Tong, L., & Su, X. (2008). Analysis of impacts of climate variability and human activity on streamflow for a river basin in arid region of northwest China. *Journal of Hydrology*, 352(3-4), 239-249.

- <https://doi.org/10.1016/j.jhydrol.2007.12.022>
- 11- Milly, P.C.D., Dunne, K.A., & Vecchia, A.V. (2005). Global pattern of trends in streamflow and water availability in a changing climate. *Nature*, 438(7066), 347-350. <https://doi.org/10.1038/nature04312>
 - 12- Mwangi, H.M., Julich, S., Patil, S.D., McDonald, M.A., & Feger, K.H. (2016). Relative contribution of land use change and climate variability on discharge of upper Mara River, Kenya. *Journal of Hydrology: Regional Studies*, 5, 244-260. <https://doi.org/10.1016/j.ejrh.2015.12.059>
 - 13- Ol'dekop, E.M. (1911). *On Evaporation from the Surface of River Basins: Transactions on Meteorological Observations*. Lur-evskogo, report, University of Tartu, Estonia. (In Russian)
 - 14- Pettitt, A.N. (1979). A non-parametric approach to the change-point problem. *Journal of the Royal Statistical Society*, 28(2), 126-135. <https://doi.org/10.2307/2346729>
 - 15- Pike, J.G. (1964). The estimation of annual runoff from meteorological data in a tropical climate. *Journal of Hydrology*, 2(2), 116-123. [https://doi.org/10.1016/0022-1694\(64\)90022-8](https://doi.org/10.1016/0022-1694(64)90022-8)
 - 16- Rangelcroft, S., Van Loon, A.F., Maureira, H., Verbits, K., & Hannah, D.M. (2016). Multi-method assessment of reservoir effects on hydrological droughts in an arid region. *Earth System Dynamics*, 57, 1-32. <https://doi.org/10.5194/esd-2016-57>
 - 17- Schreiber, P. (1904). Über die Beziehungen zwischen dem Niederschlag und der Wasserführung der Flü ße in Mitteleuropa. *Meteorologische Zeitschrift*, 21(10), 441-452.
 - 18- Schaake, J.C. (1990). *From climate to flow*. P. 177–206. In: Waggoner, P.E., Wiley, J. (eds), *Climate Change and U.S. Water Resources*, New York.
 - 19- Sorokin, L.V., & Mondello, G. (2017). *Entering the new +2 °C Global Warming age and a threat of World Ocean expansion for sustainable economic development*. In: Mal, S. et al. (eds.), *Climate Change Extreme Events and Disaster Risk Reduction*, Springer, Berlin, Germany.
 - 20- Wu, J., Miao, C., Zhang, X., Yang, T., & Duan, Q. (2017). Detecting the quantitative hydrological response to changes in climate and human activities. *Science of the Total Environment*, 586, 328-337. <https://doi.org/10.1016/j.scitotenv.2017.02.010>
 - 21- Yao, H., Shi, C., Shao, W., Bai, J., & Yang, H. (2015). Impacts of climate change and human activities on runoff and sediment load of the Xiliugao Basin in the upper Yellow river. *Advances in Meteorology*, 481713. <https://doi.org/10.1155/2015/481713>
 - 22- Zahraie, B., Kolbasi, A., & Salehabadi, H. (2017). *Estimating the contribution of the effects of climate change and human activities in the reduction of runoff entering the Zaindarud dam*. In International Climate Change Conference, Ministry of Power, Tehran. (In Persian)
 - 23- Zhao, G., Tian, P., Mu, X., Jiao, J., Wang, F., & Gao, P. (2014). Quantifying the impact of climate variability and human activities on streamflow in the middle reaches of the Yellow River basin, China. *Journal of Hydrology*, 519, 387–398. <https://doi.org/10.1016/j.jhydrol.2014.07.014>
 - 24- Zhang, L., Dawes, W.R., & Walker, G.R. (2001). Response of mean annual evapotranspiration to vegetation changes at catchment scale. *Water Resources Research*, 37(3), 701-708. <https://doi.org/10.1029/2000WR900325>